

See discussions, stats, and author profiles for this publication at: <https://www.researchgate.net/publication/383429213>

# دراسة إحصائية للمصادر السيسموتكتونية المؤثرة على المنطقة الساحلية قبل، وبعد زلزال السادس من شباط 2023 Statistical Study of the Seismotectonic Sources Affecting the Coastal Area Bef...

Conference Paper · June 2023

CITATIONS

0

READS

98

2 authors, including:



Nashaat Semaan

10 PUBLICATIONS 2 CITATIONS

SEE PROFILE



# دراسة إحصائية للمصادر السيسموتكتونية المؤثرة على المنطقة الساحلية قبل، وبعد زلزال السادس من شباط 2023

د. سامر زيزفون<sup>2</sup>

م. نشأت السمعان<sup>1</sup>

<sup>1</sup> مدير بنك المعلومات المكانى، المركز الوطنى للزلزال، nashaat.semaan@gmail.com

<sup>2</sup> مدير بحوث، رئيس قسم، المركز الوطنى للزلزال، samerzayzafoun@gmail.com

## الملخص

تعتبر الدراسات الإحصائية قبل، وبعد الزلازل الكبيرة من أهم الدراسات في إدارة الكارثة بكل مراحلها. يهدف هذا البحث للقيام بدراسة إحصائية للأحداث الزلالية على المصادر السيسموتكتونية المؤثرة على المنطقة الساحلية قبل، وبعد زلزال السادس من شباط 2023 باستخدام قاعدة بيانات مكونة من 219133 حدثاً زلاليّاً بين عامي 2005، 2023؛ وباستخدام البرامج الإحصائية، وبرامج نظم المعلومات الجغرافية تم إنشاء الخرائط، والمخططات، والمنحنيات الخاصة بالفترات السابقة، واللاحقة للزلزال، وتبيّن وجود نشاط زلالي متزايد قبل الزلزال على منظومات الفووالق المحيطة بالصفيحة العربية، ووجود نشاط زلالي متناقض بعده على منظومات الفووالق المؤثرة على المنطقة الساحلية، ووجود بعض المؤشرات على حدوث الاهتزاز بقدر 6.3، و4.7 على فالق إنطاكيّة، وقد أظهرت معدلات الانحدار لهذه المؤشرات علاقة خطية لقيم القدر مع الزمن بمعامل ارتباط يتراوح بين 99، و99.3 بالمئة، وبخطأ معياري يتراوح بين 0.1، و0.15 من قيمة القدر المتوقّع، وقد أوصت الدراسة بضرورة تحديد، ودراسة المصادر السيسموتكتونية المؤثرة على كامل أراضي الجمهورية العربية السورية.

**الكلمات المفتاحية:** دراسة إحصائية، المصادر السيسموتكتونية، المنطقة الساحلية، سورية.



# Statistical Study of the Seismotectonic Sources Affecting the Coastal Area Before and After the February 6, 2023 Earthquake

Eng. Nashaat Semaan <sup>1</sup>

Dr. Samer Zayzaoun <sup>2</sup>

<sup>1</sup> Director of the Spatial Databank, NEC-Syria, nashaat.semaan@gmail.com

<sup>2</sup> Research Director, NEC-Syria, samerzayzaoun@gmail.com

## Abstract

The statistical studies before and after large earthquakes are considered one of the most important studies in managing disasters in all its stages. This research aims to carry out a statistical study of seismic events on seismotectonic sources affecting the coastal region before and after the earthquake of February 6, 2023, using a database of 219133 seismic events between the years 2005 and 2023, and using statistical programs and geographic information systems programs; maps, charts and curves for the pre- and post-earthquake periods were created. It showed the presence of increased seismic activity before the earthquake on the fault systems surrounding the Arabian plate, and the presence of decreasing seismic activity on the fault systems affecting the coastal region after the earthquake, with some indicators of the occurrence of events of magnitude 6.3 and 4.7 on the Antakya fault, These indicators showed a linear relationship to the peaks of magnitude with time, with a correlation coefficient ranging between 99 and 99.3 percent, and a standard error ranging between 0.1 and 0.15 with the value of the expected magnitude. The study recommended the need to identify and study the seismotectonic sources affecting the entire territory of the Syrian Arab Republic.

**Keywords:** Statistical Study, Seismotectonic Sources, Coastal Region, Syria.



## المقدمة:

تعتبر الدراسات الإحصائية قبل، وبعد الزلازل الكبيرة من أهم الدراسات في إدارة الكارثة بكل مراحلها، حيث يمكن من خلالها تقييم النشاط السيسي على منظومات الفوالق قبل حدوث الزلازل، ودراسة وتقييم النشاط السيسي بعدها، ودراسة المؤشرات الإحصائية التي تهدف لتوقع قدر الأحداث الزلزالية على منظومات الفوالق.

إن البحر الأحمر هو محيط جنوني ناشئ بين الصفيحتين العربية، والافريقية [1] حيث أنه يتسع سنوياً بمقدار 1 إلى 2 سم مما يؤدي إلى دفع الصفيحة العربية باتجاه الصفيحتين الإيرانية، والأناضولية مسبباً ضغطاً على شرق تركيا (1) مما يولد حركة انزلاقية تشوهية مسببة تجمع الاجهادات، والاحمال الزلزالية حول مناطق الفوالق، وكل فالق يجمع الطاقة بشكل دائم، ويتشوه سنوياً ويستمر بتجميع الطاقة الناتجة عن الأحمال الزلزالية حتى يصل إلى عتبة حدية لا يمكن لجزئيات الصخر احتمالها بسبب الضغط المتزايد عليها مما يؤدي إلى حدوث فوالق في الصخور، وهذه الفوالق في الطبقات الصخرية لها عدة أنواع منها: الفوالق التبعاعية، والفالق التقاربية، وفالق تسرب هبوطاً، أو انزلاقاً، وهذه الحالة موجودة على معظم فالق الانهدام العربي [2] فهي فالق تحويلية تتحرك بمعدل 4 إلى 8 ملم سنوياً فبعض الفوالق يحدث التمزق الصخري عليها، والتكسر كل 100 إلى 150 عاماً، وبعض الفوالق الأخرى يحدث التكسر عليها كل 200 إلى 250 عاماً كما أن بعض الفوالق الأخرى يحدث التكسر، والتمزق عليها كل 500 إلى 1500 عاماً، وتكون الزلزال المتحررة على هذه الفوالق ذات قوة مرهونة بحجم التكسر الحادث على صخورها، وقدرها الاعظمي يتراوح بين 6، و7.9 درجة.

تعتبر منطقة الأناضول عالية النشاط السيسي، ومصدر للزلازل القوية تاريخياً [3]، ويعتبر فالق شرق الأناضول الذي يبلغ طوله 600 كيلو متراً فالقاً ذو حركة انزلاقية جانبية تشوهية، ومنطقته تمثل نقطة التقاء لعدة صفائح تكتونية (العربية، والأناضولية، والإفريقية) هذا، وتعد منطقة التمزق الصخري، وتحرر الطاقة التي تجاوز طولها 300 كيلومتراً [4] منطقة تقاطع ثلاث منظومات فالق ذات نشاط زلزالي واضح، وهي: منظومة فالق شرق الأناضول، والانهدام العربي، والقوس القبرصي.

بعد وقوع الزلزال الأول بقدر MW 7.8 على فالق شرق الأناضول [5]، والثاني بقدر 7.5 على فالقي تشارداك، وسورغو حدث تحرر كميات هائلة من الطاقة الكامنة، والمختزنة بفعل الاجهادات، والاحمال الزلزالية، والتي تعادل طاقة 500 قنبلة نووية من قياس قنبلة هيروشيما، والتي يمكن حسابها بالمعادلة:  $Mw = 11.8 + 1.5 \log(E)$  [6]، حيث "E" هي الطاقة المتحررة بالأرغفة، وهذه الطاقة انتشرت بكافة الاتجاهات على شكل طاقة حركية مسببةً اهتزاز المنطقة بدائرةٍ بلغ نصف قطرها 700 كيلو متراً حيث وصل تأثيرها الاهتزازي إلى مدينة رفح، كما قدرت الآثار التدميرية للزلزال بدائرةٍ نصف قطرها 150 كيلو متراً.

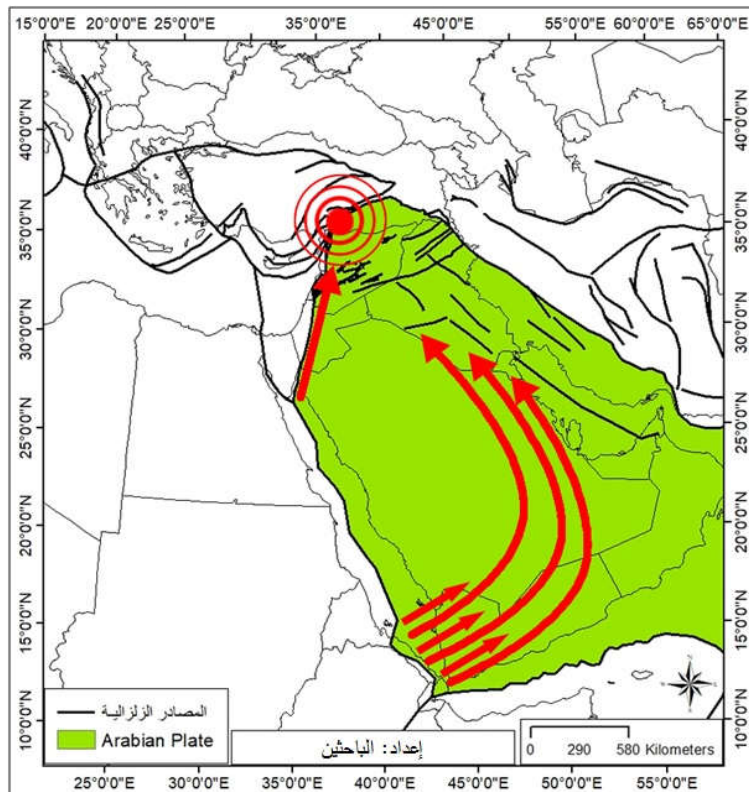
إن الطاقة المنتشرة على هذه المساحات الكبيرة تركت أثراً متبقياً في جزئيات الصخور التي اجتازتها الأمواج الزلزالية على شكل طاقةٍ كامنةٍ إضافيةً جديدةً مسببةً ارتفاع مقدار الطاقة المختزنة في صخور منظومات الفوالق التي



اجتازتها الامواج الزلزالية، والمجاورة لمناطق التمزق الصخري، مما ساعد على نمو النشاط السيسمي على منظومات الفوالق الثلاثة، وعلى جميع منظومات الفوالق المرتبطة بها.

إن هذا الزلزال المدمر، والكارثي قد أدى إلى حدوث عاصفة زلزالية ذات فعالية عالية من حيث عدد الهزات الارتدادية، وقدرها المرتفع، والثابت نسبياً، ويكون السبب في هذا النوع من الهزات الإرتدادية متعلقاً بالهزة الرئيسية التي تسبب الإطلاق المفاجئ للطاقة الناتج عن تكسير الصخور في الهازة الأولى بسبب الضغط على الصخور القريبة، ومع تراكم الضغط تتحطم هذه الصخور مطلقة سلسلة من الهزات الأصغر، كما أنه من المعروف أن الهزات الارتدادية الأولى تكون ذات قيمة أعلى على المقياس أقل من الزلزال الرئيسي بفارق 1.1 إلى 1.2 درجة حسب قانون باث [7] Bath's law.

إن هذه الهزات الارتدادية قد تستمر من عدة أسابيع لعدة سنوات بعد الهازة الرئيسية، لكنها تضعف مع الزمن بحيث تصل إلى نقطة لا يشعر بها الناس حسب قانون او Mori's law [8]، وفي بعض الأحيان تكون الهازات اللاحقة سبباً في حدوث زلزال متضررة على منظومات الفوالق المجاورة.



الشكل(1): يبين الصفيحة العربية، وحركتها.

## 2- أهداف البحث:

- دراسة المصادر السيسموتكتونية المحيطة بالصفيحة العربية قبل زلزال 6 شباط 2023 في غازي عنتاب، بهدف تقييم النشاط الزلزالي على أطراف الصفيحة.



- 2- دراسة المصادر السيسموكتونية المؤثرة على المنطقة الساحلية بعد زلزال 6 شباط 2023 في غازي عنتاب.
- 3- دراسة دقة المؤشرات الإحصائية، وإمكانية توقع قدر الهازات على منظومات الفوالق المدروسة.

### 3- الطرائق والأدوات:

تم في هذا البحث استخدام قاعدة بيانات مكونة من 219,133 حادثاً منذ عام 2005 وحتى تاريخ 2023/5/13 الساعة 6:29 بتوقيت غرينتش ضمن منطقة الدراسة الواقعه بين خطى طول 18، و60 درجة، وخطى عرض 10، و45 درجة، والتي تم جمعها من عدة مراكز إقليمية، وعالمية بما فيها المركز الأوروبي المتوسطي [9]، وهيئة المسح الجيولوجي الأمريكي [10]، حيث تراوح قدر هذه الهازات بين 0.4، و7.8، وأعمقها بين 0، و750 كيلو متراً، وتم استخدام البرامج الإحصائية كبرنامج Excel، وبرنامج Zmap إضافة لاستخدام برامج نظم المعلومات الجغرافية كبرنامج ArcGIS.

### 4- النتائج والمناقشة:

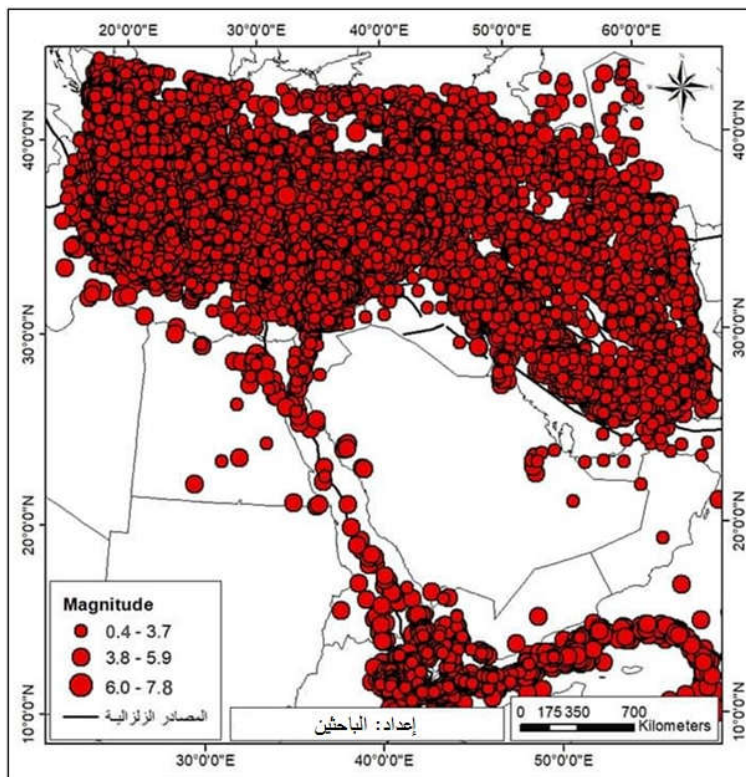
بلغ عدد الأحداث المتوفرة في قاعدة البيانات 219,133 حادثاً منذ عام 2005، وحتى تاريخ 2023/5/13 الساعة 6:29 بتوقيت غرينتش ضمن منطقة الدراسة الواقعه بين خطى طول 18، و60 درجة، وخطى عرض 10، و45 درجة، والتي تم جمعها من عدة مراكز إقليمية، وعالمية حيث تراوح قدر هذه الهازات بين 0.4، و7.8، وأعمقها بين 0، و750 كيلو متراً، ويبين الشكل(2) التوزع الجغرافي لهذه الأحداث.

بلغ عدد الأحداث ذات القدر أكبر، أو يساوي 2 خلال 97 يوماً قبل زلزال غازي عنتاب 2335 حادثاً ضمن منطقة الدراسة الواقعه بين خطى طول 18، و60 درجة، وخطى عرض 10، و45 درجة حيث تراوح قدر هذه الهازات بين 2، و6.1، وأعمقها بين 0، و400 كيلومتراً، ويبين الشكل(3) التوزع الجغرافي لهذه الأحداث، حيث بدأ النشاط بالتزاييد على منظومة البحر الأحمر التابعية يوم 31/10/2022 بهزة 4.2، ووصل هذا النشاط ذروته بتاريخ 26/12/2022 حيث حدث هزتان الأولى بقدر 5.2، والثانية بقدر 4.6، وبعد يومين فقط في يوم 28/12/2022 حدثت ثلاثة هزات اثنان بقدر 4.5، وواحدة بقدر 5، ثم حدثت هزة بقدر 4.3 بتاريخ 25/1/2023، ثم هزة بقدر 4.4 بتاريخ 2/2/2023، ويبين الشكل(4) تغير قدر الهازات مع الزمن، والمنحنى الأسوي لهذا التغير، كما يبين الشكل(5) تغير عدد الهازات مع الزمن، والمنحنى الأسوي لهذا التغير. بدأ النشاط الزلزالي بالتزاييد على منظومة فوالق تبعاً لخليج عدن منذ يوم 13/11/2022 حيث حدث هزتان بقدر 4.4، وحدثت عدة هزات بقدر 4 حتى يوم 18/1/2023 حيث حدثت هزة بقدر 5، ثم في يوم 26/1/2023 حدثت هزة بقدر 4.8، وفي يوم 2/2/2023 حدثت هزة 3.6، ويبين الشكل(6) تغير قدر الهازات مع الزمن، والمنحنى الأسوي لهذا التغير، كما يبين الشكل(7) تغير عدد الهازات مع الزمن، والمنحنى الأسوي لهذا التغير. بدأ النشاط الزلزالي بالتزاييد على منظومة فوالق زغروس يوم 15/11/2022 حيث حدثت هزة 4.6، ثم تلتها هزة 4.6 يوم 15/11/2022، ثم حدثت هزة بقوة متوسطة بقدر

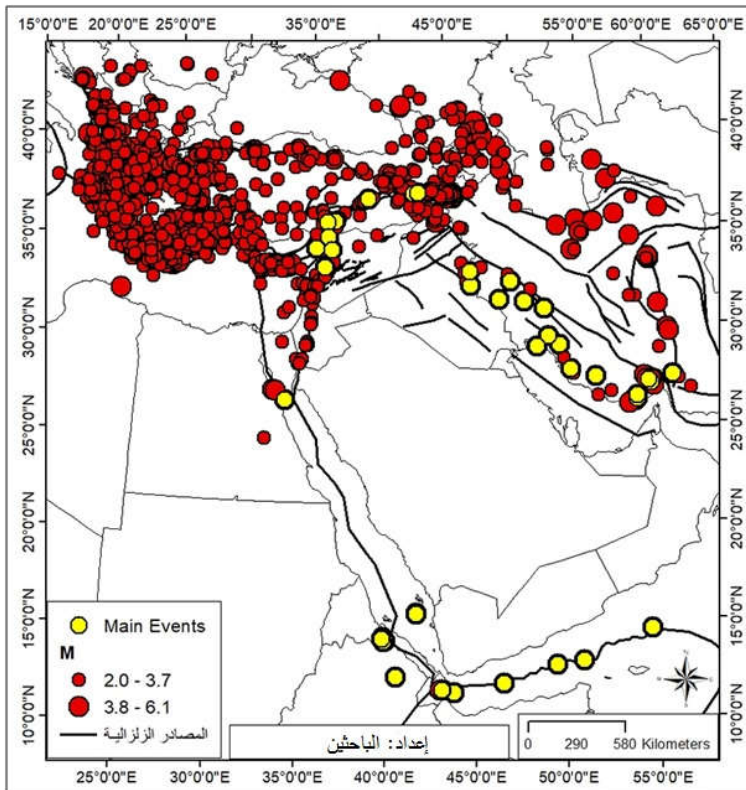


5.6، وهزتان ارتداديتان عنها في نفس المكان يوم 30/11/2022، وبقي النشاط المتزايد على هذه المنظومة طيلة ثلاثة أشهر قبل زلزال غازي عنتاب حيث وصل عدد الهزات أكبر من أربعة إلى 26 هزة، ويبيّن الشكل(8) تغير قدر الهزات مع الزمن، والمنحنى الأسوي لهاذا التغيير، كما يبيّن الشكل(9) تغير عدد الهزات مع الزمن، والمنحنى الأسوي لهاذا التغيير. بدأ النشاط الزلزالي بالتزايد على منظومة فالق بيتس يوم 10/11/2022 حيث حدثت هزة بقدر 4.2، ثم هزة بقدر 4.3 يوم 13/11/2022، ثم هزة بقدر 4 يوم 16/11/2022، ويبيّن الشكل(10) تغير قدر الهزات مع الزمن، والمنحنى الأسوي لهاذا التغيير، كما يبيّن الشكل(11) تغير عدد الهزات مع الزمن، والمنحنى الأسوي لهاذا التغيير. بدأ النشاط الزلزالي بالتزايد على منظومة فالق شرق الأناضول يوم 12/11/2022، وقد بلغ عدد الهزات أكبر من أربعة 4 هزات خلال الفترة المدروسة كان أكبرها 4.7 يوم 15/1/2023، و4.3 يوم 29/1/2023، و4.2 يوم 3/2/2023، و4 يوم 23/12/2022 في غازي عنتاب، ويبيّن الشكل(12) تغير قدر الهزات مع الزمن، والمنحنى الأسوي لهاذا التغيير، كما يبيّن الشكل(13) تغير عدد الهزات مع الزمن، والمنحنى الأسوي لهاذا التغيير. بدأ النشاط الزلزالي بالتزايد على منظومة فالق الانهادم العربي (البحر الميت) يوم 18/11/2022، وحدث أربع هزات رئيسية أكبر من أربعة حيث حدثت هزة 4.8 يوم 18/12/2022 على فالق الغاب الغربي، وهزة 4.3 يوم 12/1/2023 على تفرعات فالق الغاب الغربي، وهزتان على فالق مصياف 4.4، و4.2 يوم 21/1/2023، ويبيّن الشكل(14) تغير قدر الهزات مع الزمن، والمنحنى الأسوي لهاذا التغيير، كما يبيّن الشكل(15) تغير عدد الهزات مع الزمن، والمنحنى الأسوي لهاذا التغيير.

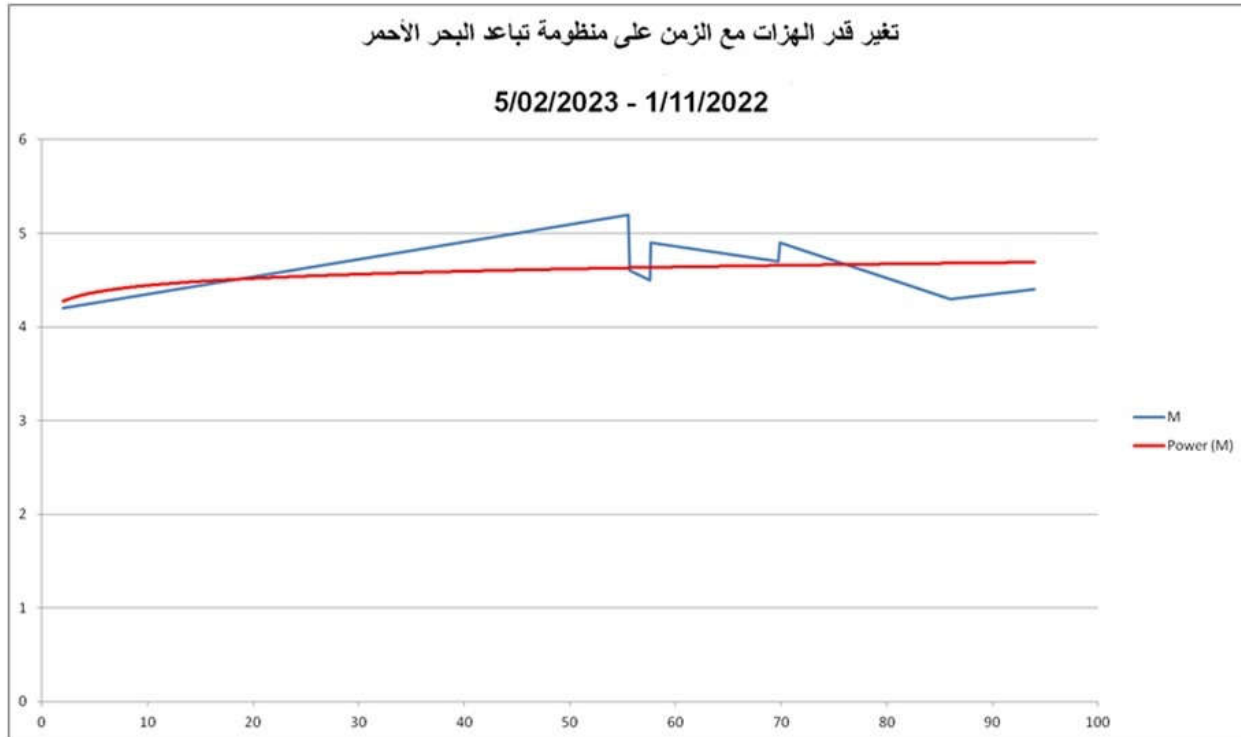
بلغ عدد الأحداث 11932 حدثاً بقدر أكبر أو يساوي 2 خلال 97 يوماً بعد زلزال غازي عنتاب، وحتى تاريخ 13/5/2023 الساعة 6:29 بتوقيت غرينتش ضمن منطقة الدراسة الواقعة بين خطى طول 18، و60 درجة، وخطى عرض 10، و45 درجة حيث تراوح قدر هذه الهزات بين 2، و7.8، وأعمقاها بين 0، و533 كيلو متراً، ويبيّن الشكل(16) التوزع الجغرافي لهذه الأحداث، كما يبيّن الشكل(17) تغير قدر الهزات مع الزمن، والمنحنى الأسوي على منظومة فالق شرق الأناضول، ويبيّن الشكل(18) تغير عدد الهزات مع الزمن، والمنحنى الأسوي على هذه المنظومة، ويبيّن الشكل(19) تغير قدر الهزات مع الزمن، والمنحنى الأسوي على منظومة فالق الانهادم العربي، كما يبيّن الشكل(20) تغير عدد الهزات مع الزمن، والمنحنى الأسوي على هذه المنظومة، ويبيّن الشكل(21) تغير قدر الهزات مع الزمن، والمنحنى الأسوي على منظومة فالق القوس القبرصي، كما يبيّن الشكل(22) تغير عدد الهزات مع الزمن، والمنحنى الأسوي على منظومة فالق القوس الهيليني، كما يبيّن الشكل(23) تغير قدر الهزات مع الزمن، والمنحنى الأسوي على منظومة فالق القوس الهيليني، كما يبيّن الشكل(24) تغير عدد الهزات مع الزمن، والمنحنى الأسوي على هذه المنظومة، ويبيّن الشكل(25) تغير قدر الهزات مع الزمن، والمنحنى الأسوي على فالق أنطاكية، كما يبيّن الشكل(26) تغير عدد الهزات مع الزمن، والمنحنى الأسوي على هذا الفالق حيث نلاحظ أن قيمة قدر الاتكمال  $M_C$  يساوي 2.4، ومعاملات غوتبيرغ ريختر هي: " $a=4.18$ "، " $b=0.681$ "، حيث يبيّن الشكل(28) تغير قدر الهزات مع الزمن على الفالق مع المؤشر على حدوث الهازة 6.3، حيث نلاحظ التزايد الخطى لقىم القدر قبل حدوث الهازة، ويبيّن الشكل(29) المؤشر على حدوث الهازة 4.7.



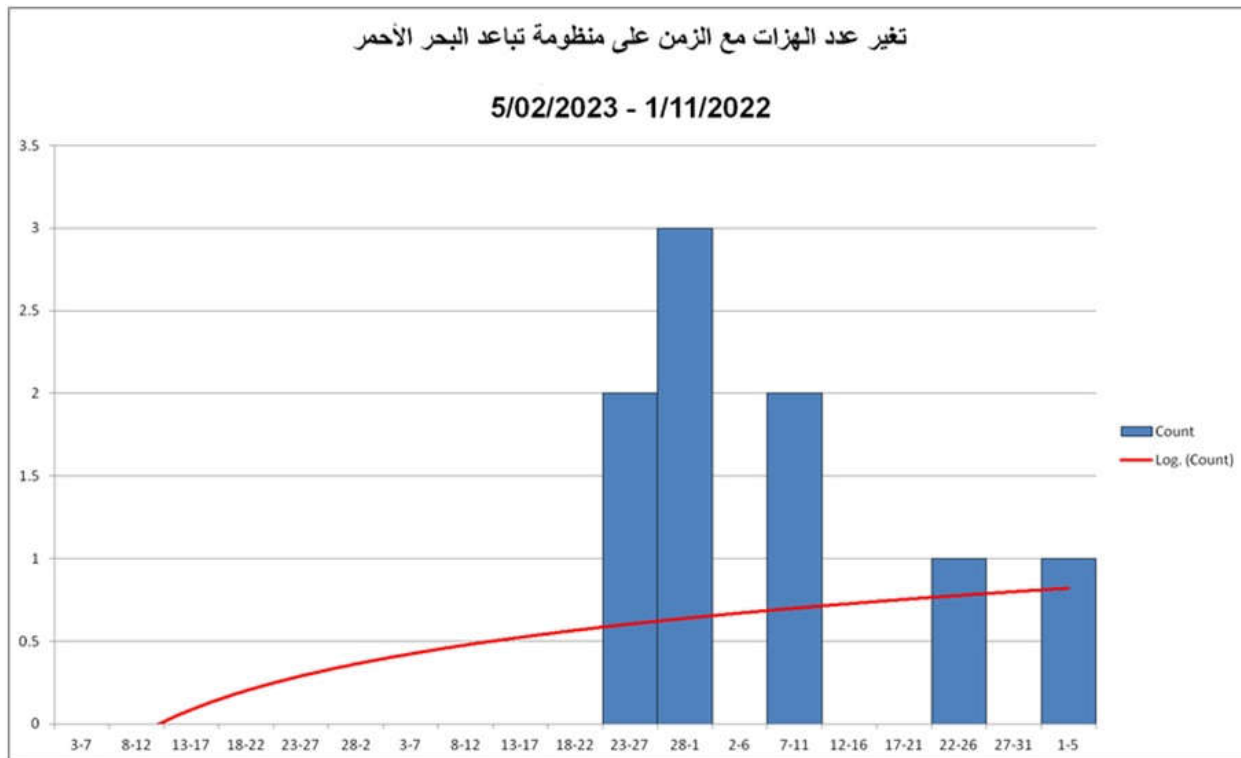
الشكل (2): يبين التوزع الجغرافي للأحداث المتوفرة في قاعدة البيانات.



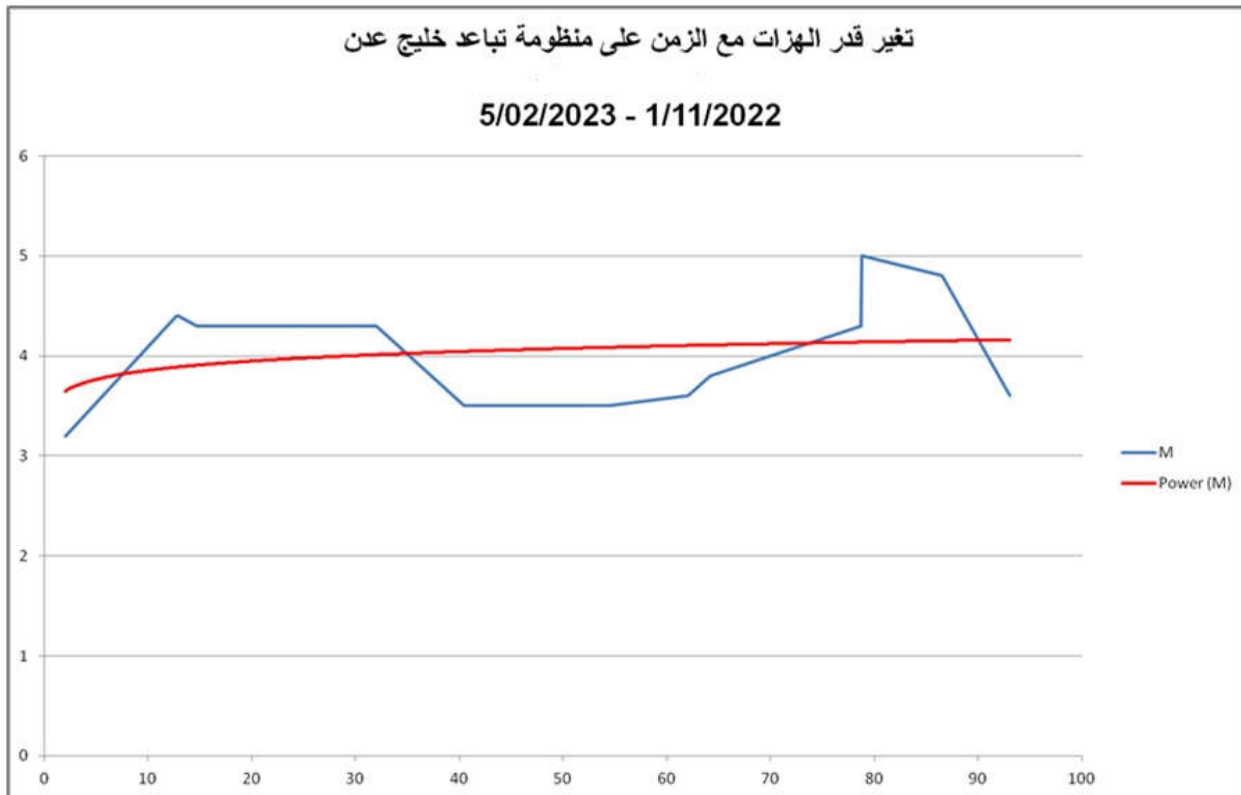
الشكل (3): يبين التوزع الجغرافي للأحداث قبل 97 يوماً من زلزال غازى عنتاب.



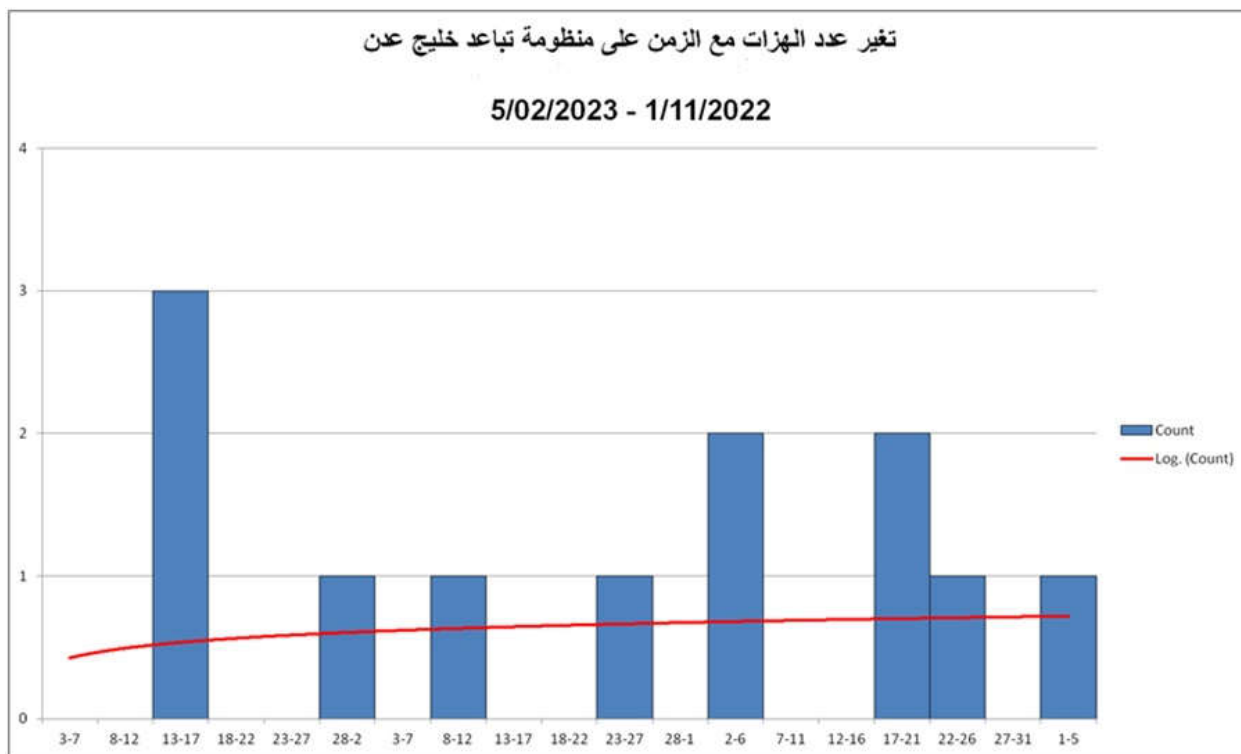
الشكل(4): يبين تغير قدر الهازات مع الزمن على منظومة تباعد البحر الأحمر ، والمنحنى الأسوي لهذا التغير .



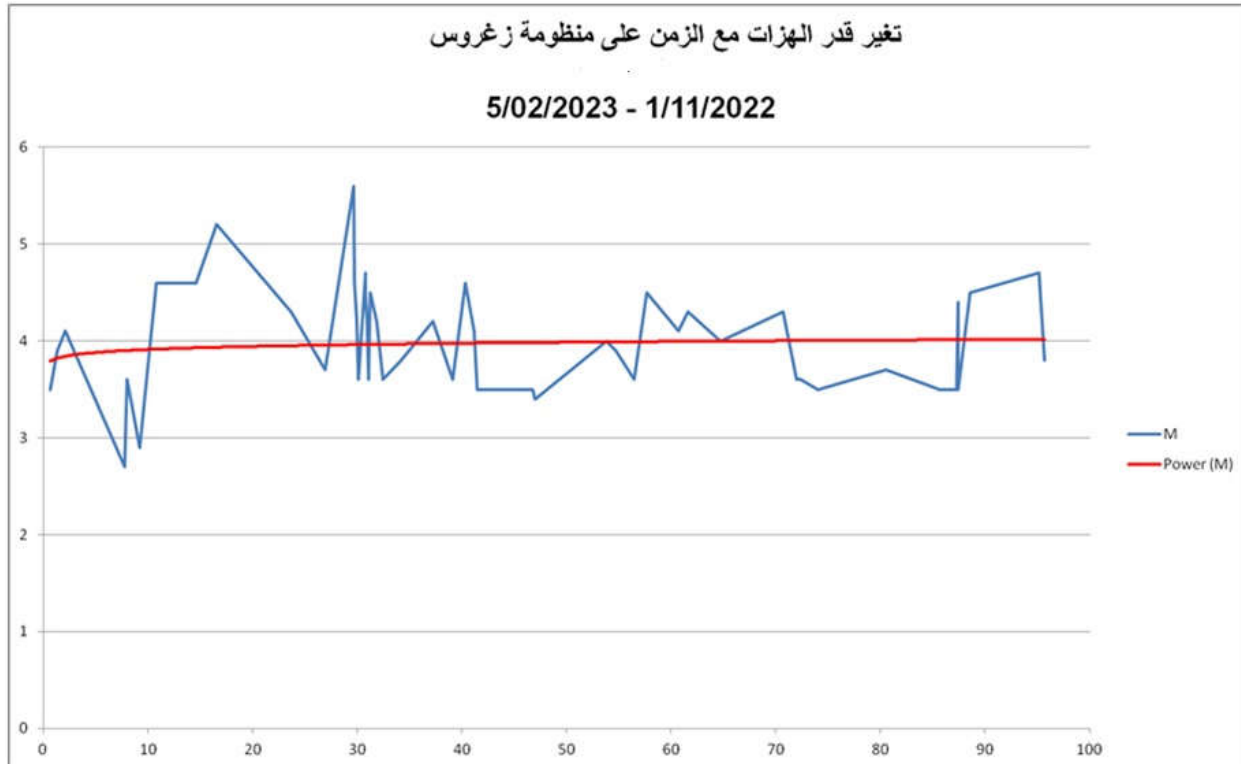
الشكل(5): يبين تغير عدد الهازات مع الزمن على منظومة تباعد البحر الأحمر ، والمنحنى الأسوي لهذا التغير .



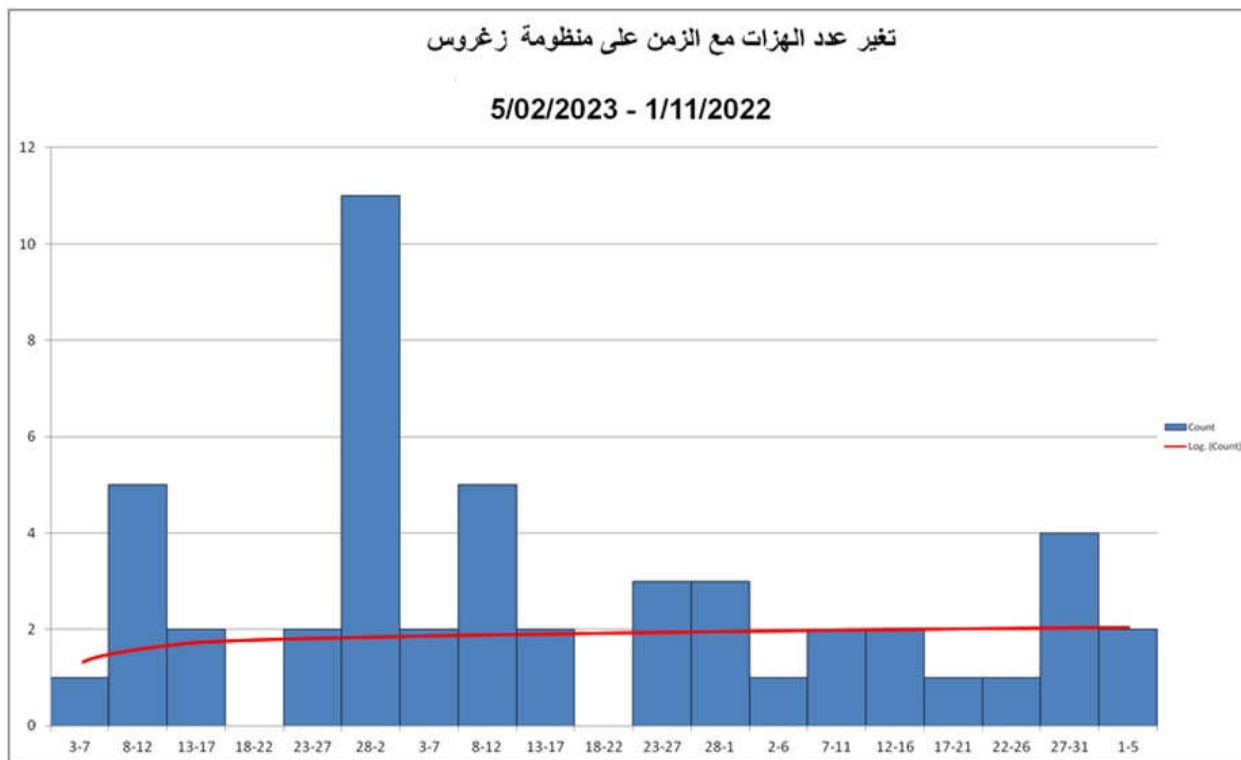
الشكل(6): يبين تغير قدر الهزات مع الزمن على منظومة تباعد خليج عدن، والمنحنى الأسوي لهذا التغير.



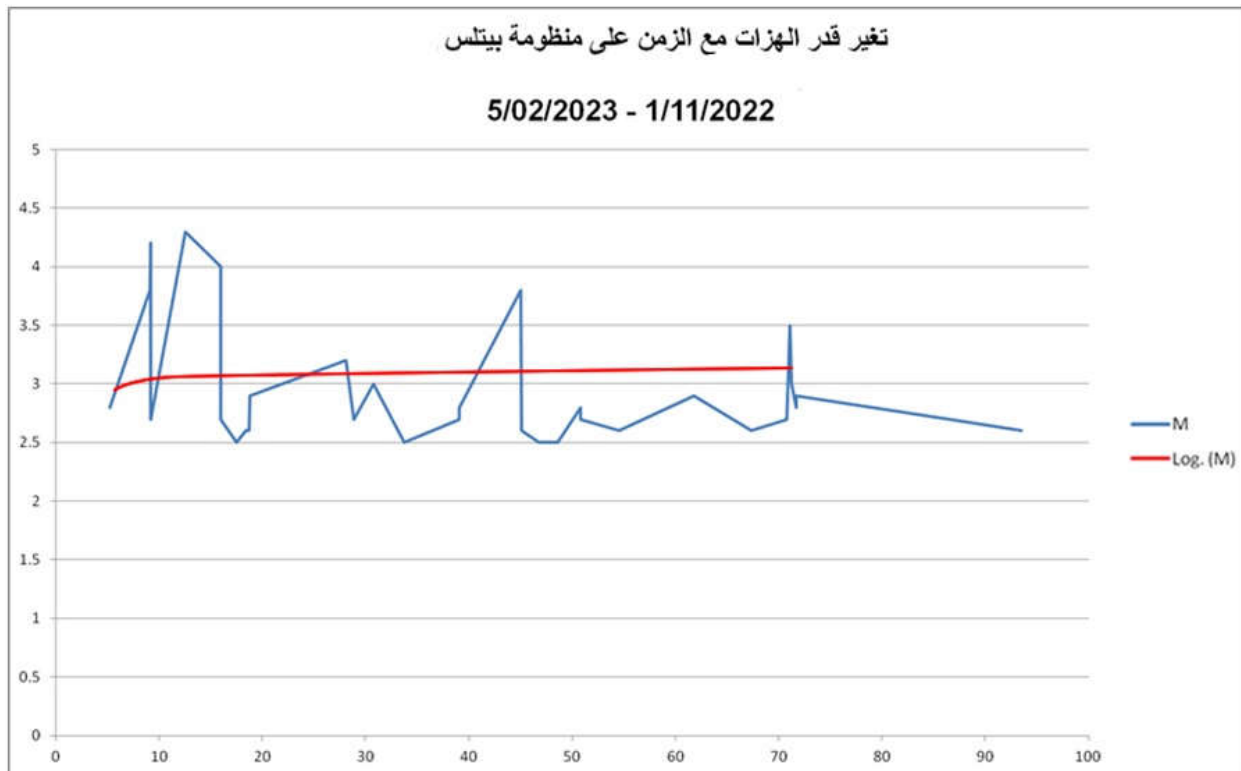
الشكل(7): يبين تغير عدد الهزات مع الزمن على منظومة تباعد خليج عدن، والمنحنى الأسوي لهذا التغير.



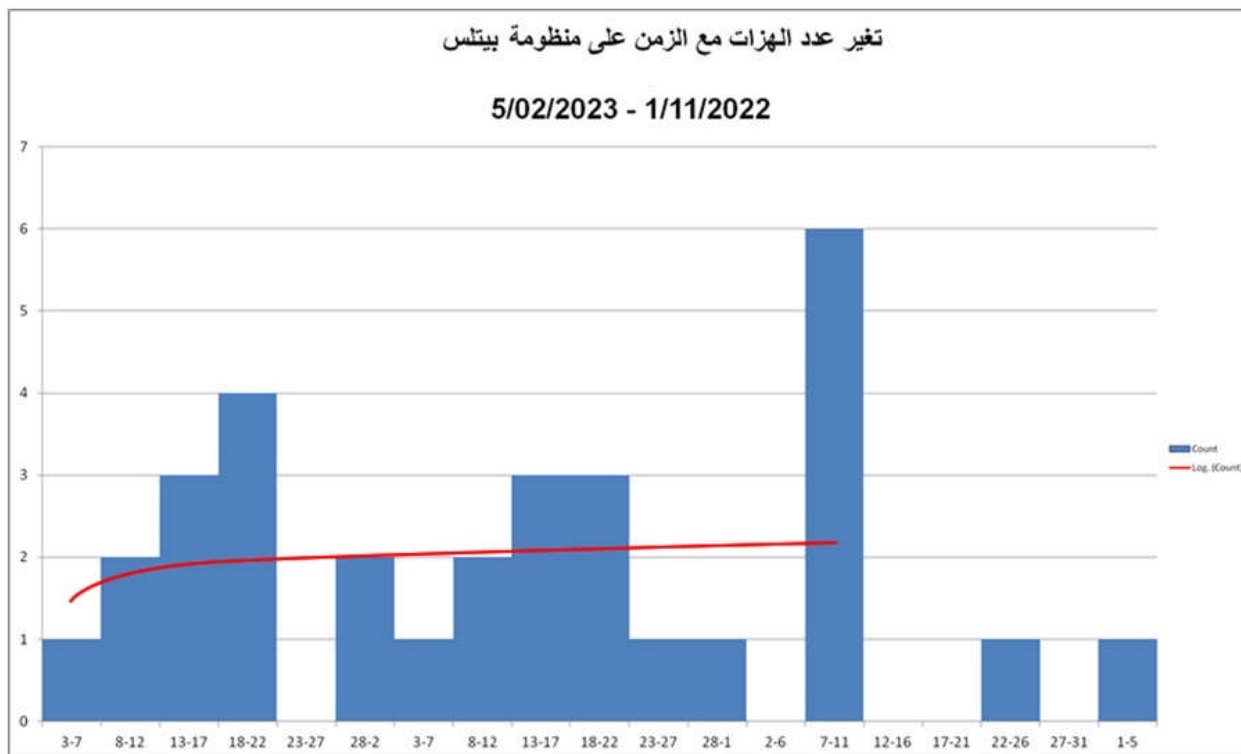
الشكل(8): يبين تغیر قدر الهزات مع الزمن على منظومة فوالق زغروس، والمنحنى الأسوي لهذا التغيير.



الشكل(9): يبين تغیر عدد الهزات مع الزمن على منظومة فوالق زغروس، والمنحنى الأسوي لهذا التغيير.



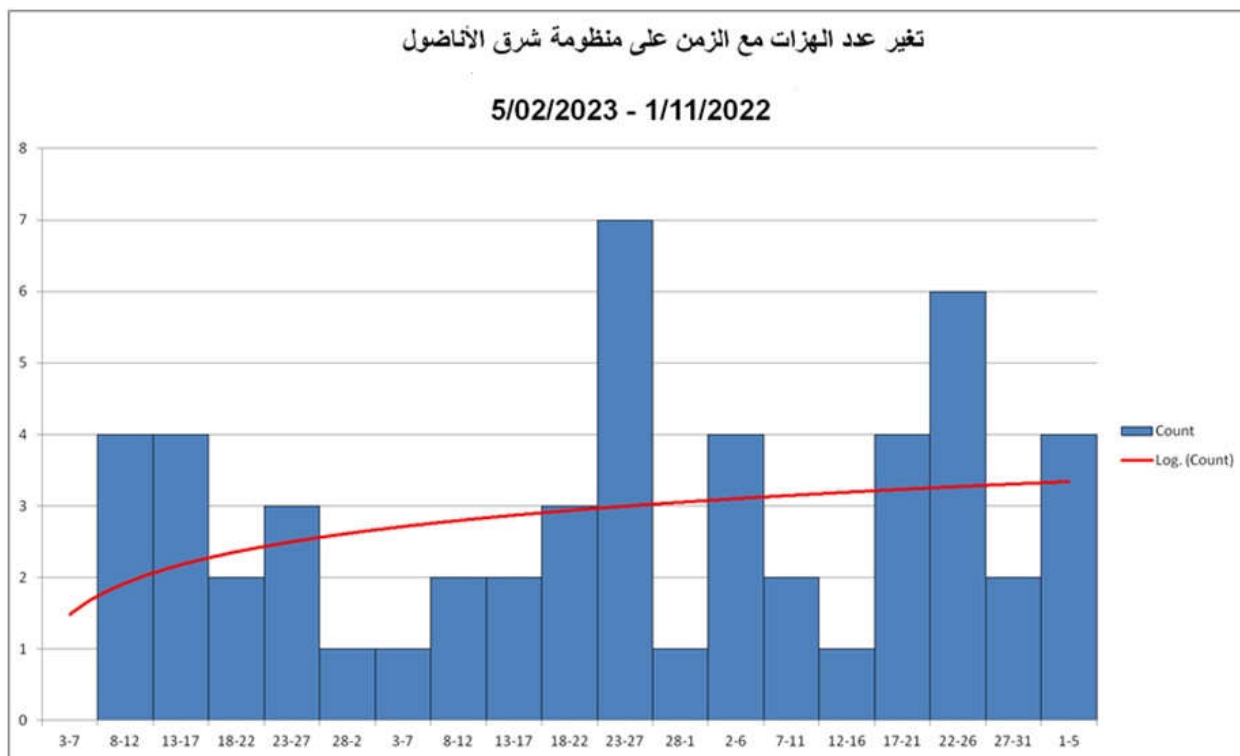
الشكل(10): يبين تغیر قدر الهزات مع الزمن على منظومة فوالق بيتس، والمنحنى الأسی لهذا التغیر.



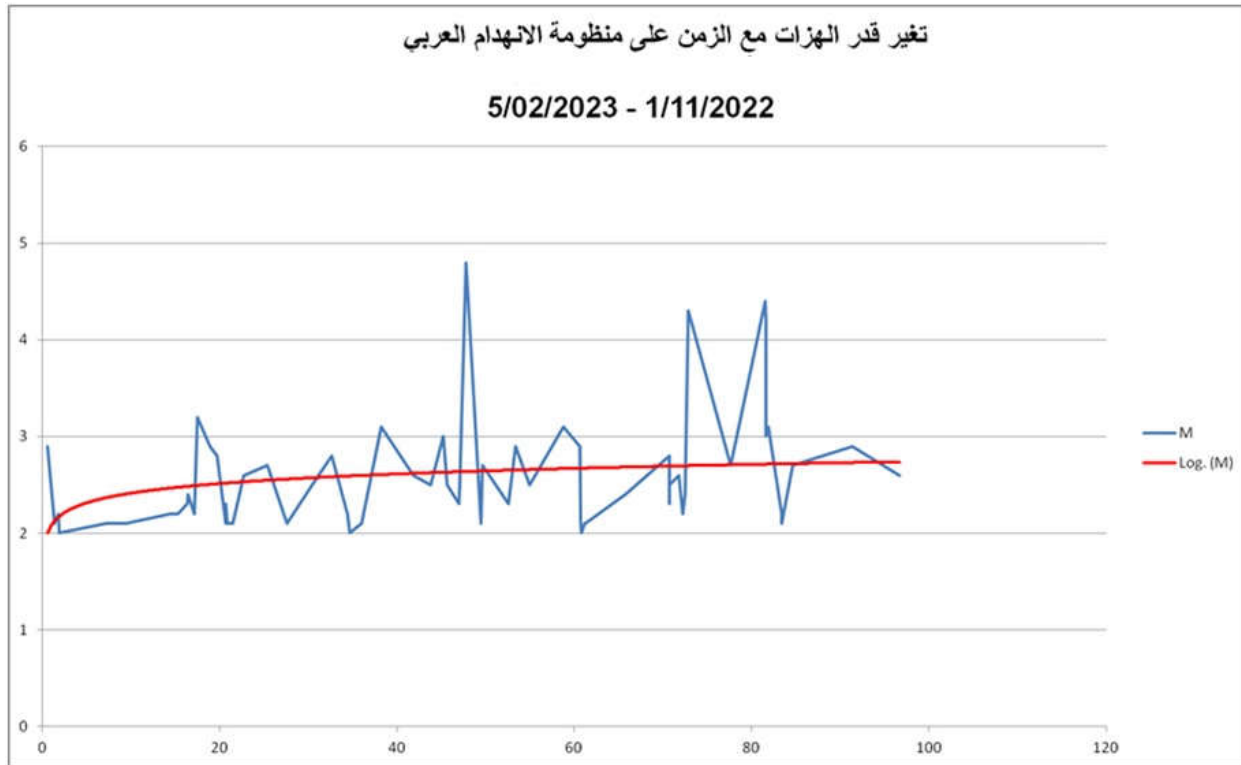
الشكل(11): يبين تغیر عدد الهزات مع الزمن على منظومة فوالق بيتس، والمنحنى الأسی لهذا التغیر.



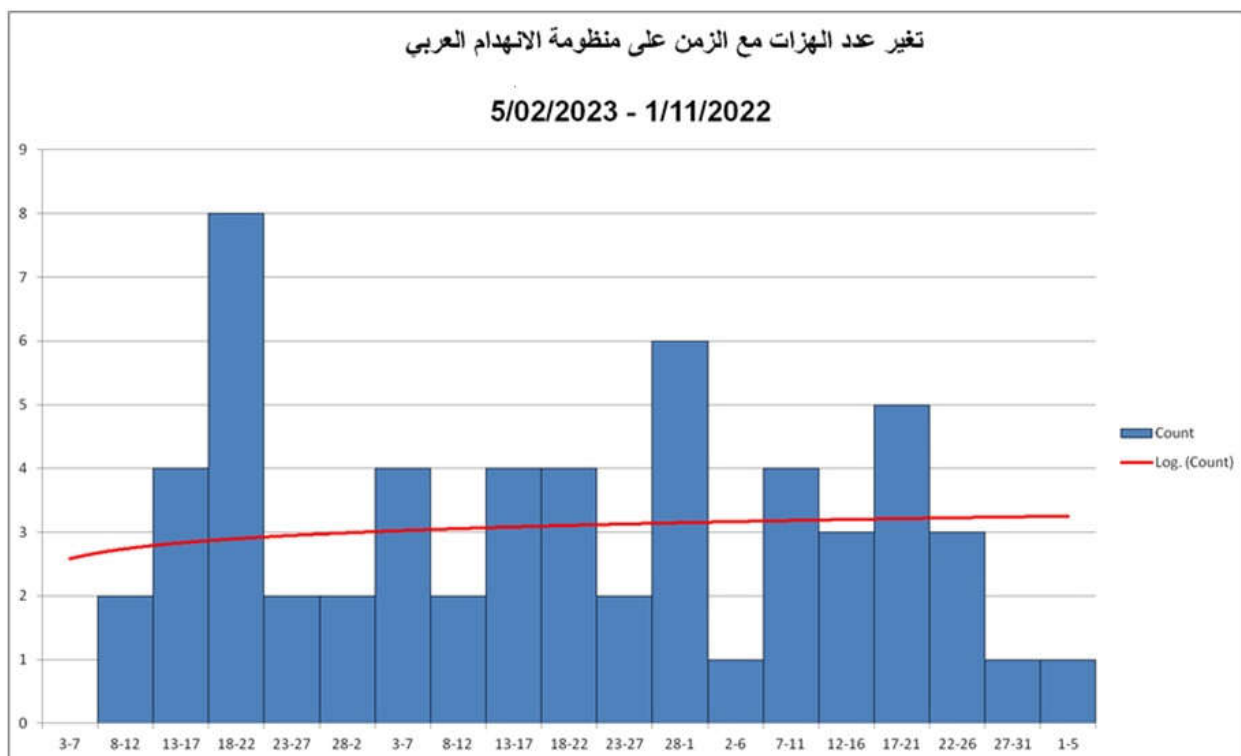
الشكل(12): يبين تغير قدر الهزات مع الزمن على منظومة فوالق شرق الأناضول، والمنحنى الأسوي لهذا التغير.



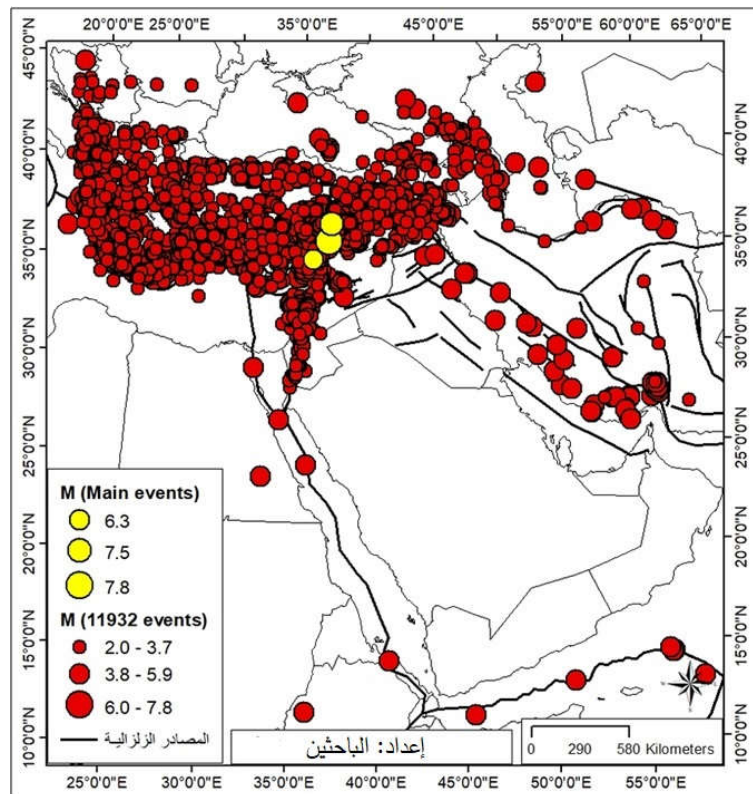
الشكل(13): يبين تغير قدر الهزات مع الزمن على منظومة فوالق شرق الأناضول، والمنحنى الأسوي لهذا التغير.



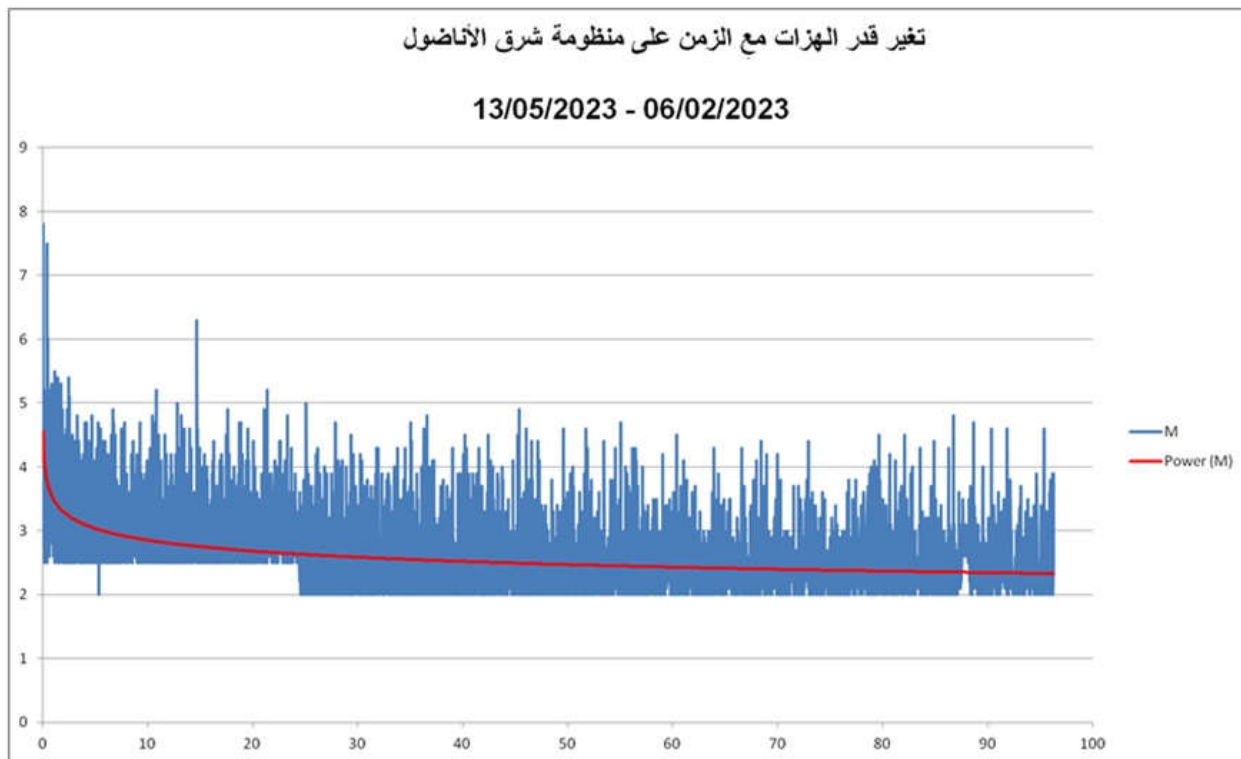
الشكل(14): يبين تغیر قدر الهزات مع الزمن على منظومة فالق البحر الميت، والمنحنى الأسوي لهذا التغير.



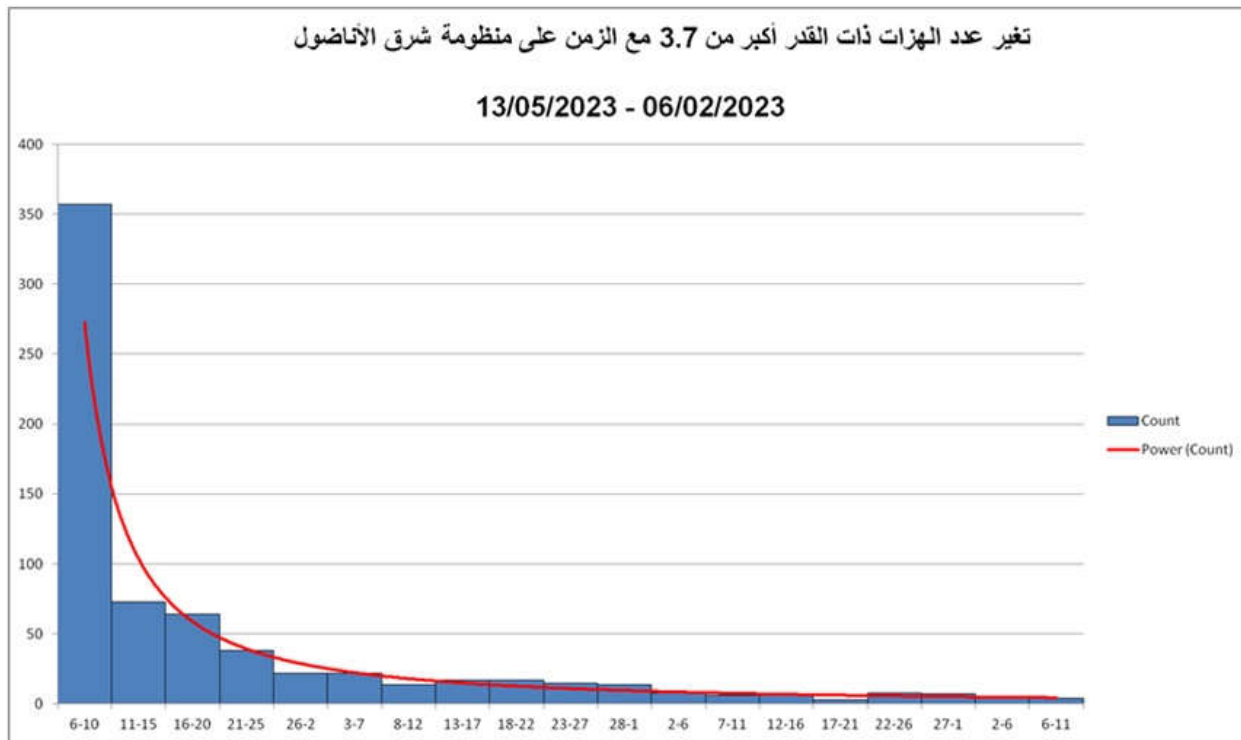
الشكل(15): يبين تغیر عدد الهزات مع الزمن على منظومة فالق البحر الميت، والمنحنى الأسوي لهذا التغير.



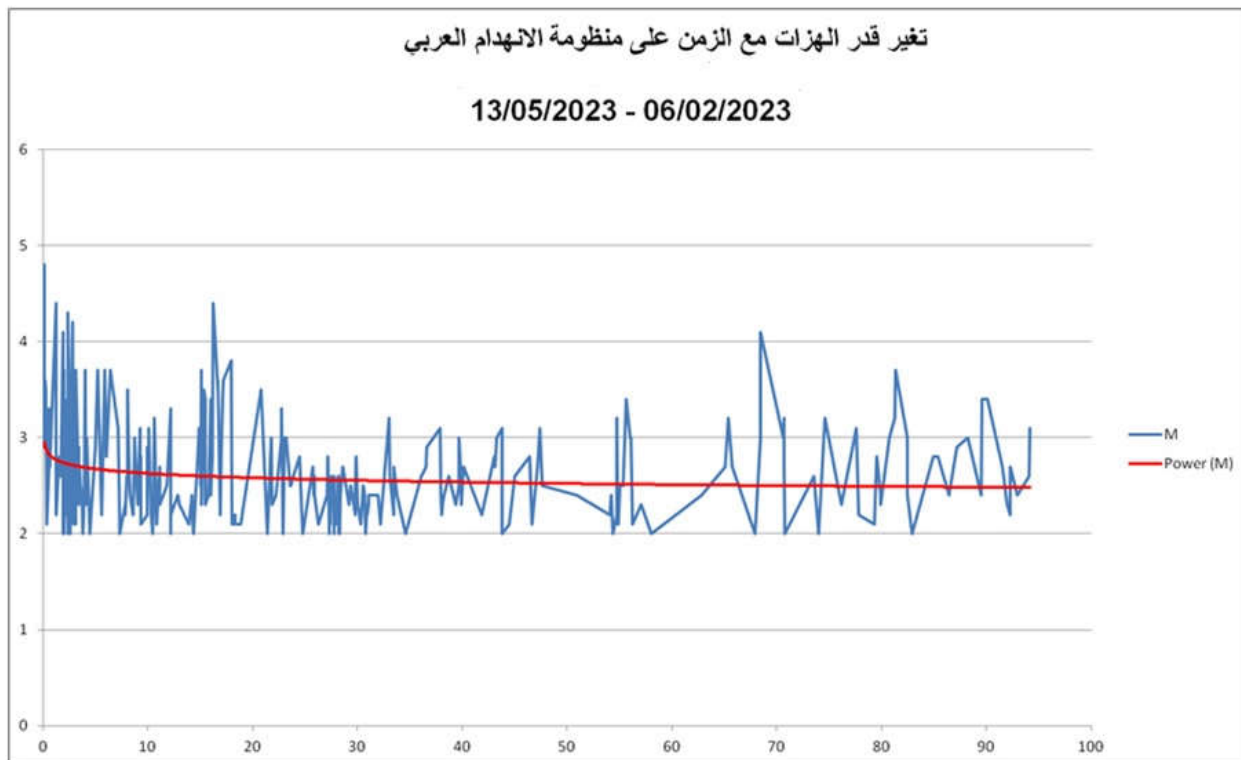
الشكل(16): يبين التوزع الجغرافي للأحداث الزلزالية خلال 97 يوماً التالية لزلزال غازي عنتاب.



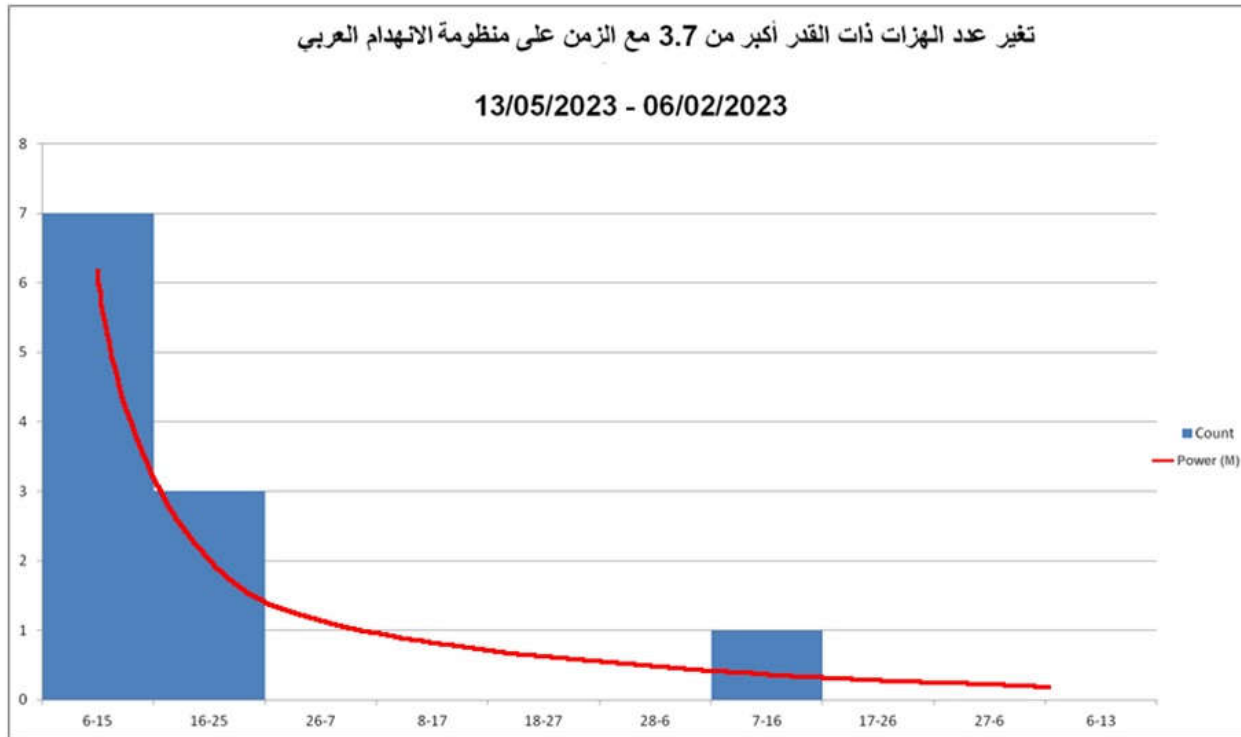
الشكل(17): يبيّن تغير قدر الهازات مع الزمن، والمنحنى الأسوي على منظومة فوالق شرق الأناضول.



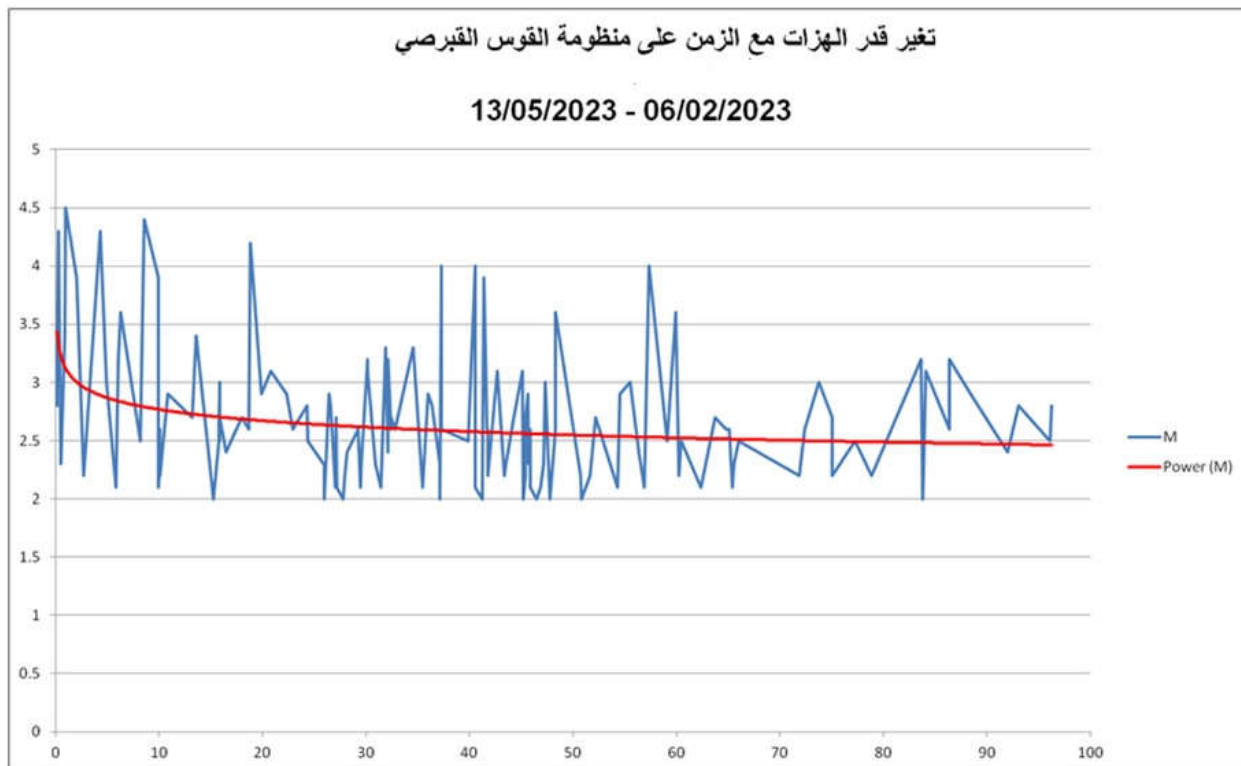
الشكل(18) : يبين تغیر عدد الهزات مع الزمن، والمنحنی الأسی على منظومة فوالق شرق الأناضول.



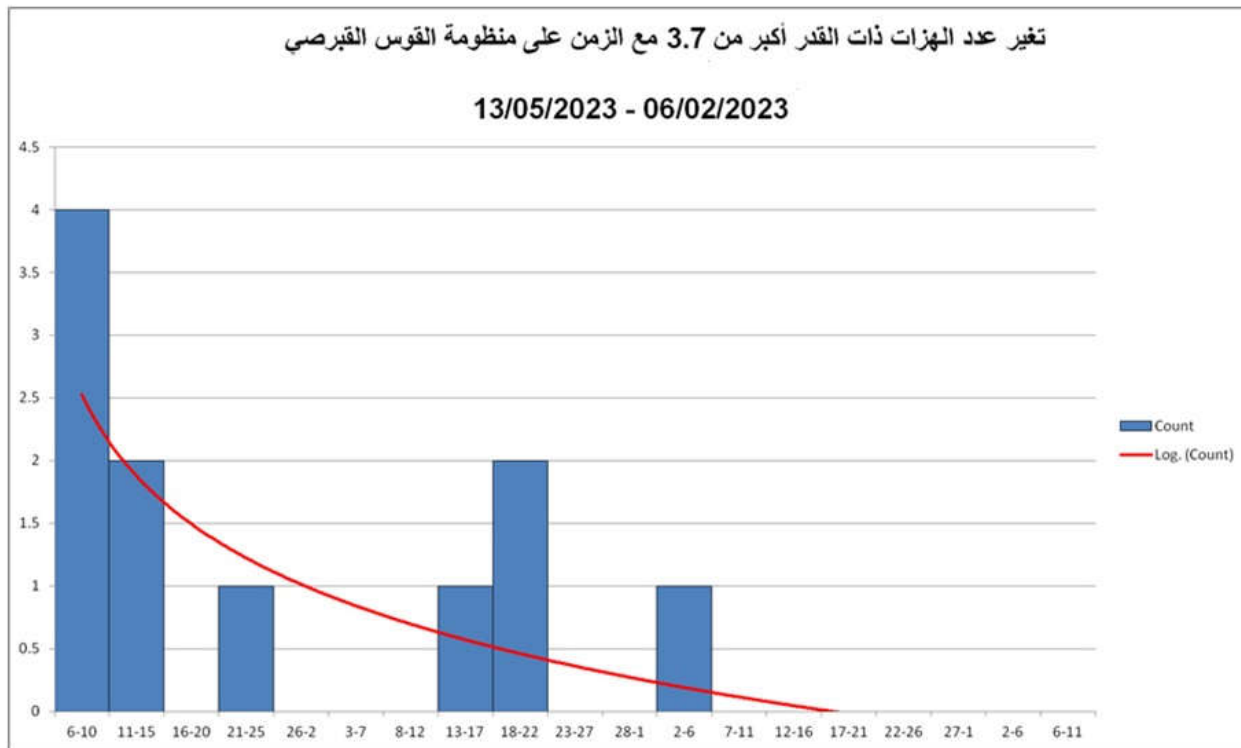
الشكل(19) تغیر قدر الهزات مع الزمن، والمنحنی الأسی على منظومة فوالق البحر الميت.



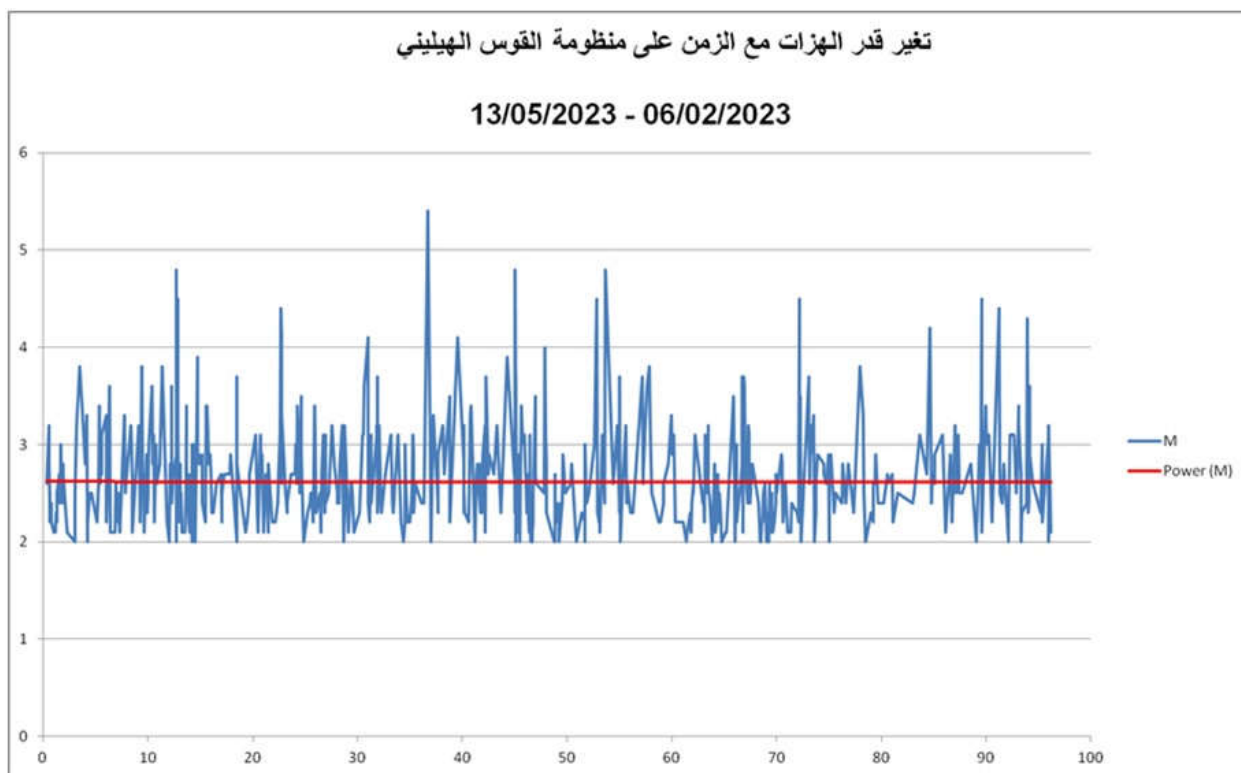
الشكل(20): يبين تغير عدد الهزات مع الزمن، والمنحنى الأسوي على منظومة فوالق البحر الميت.



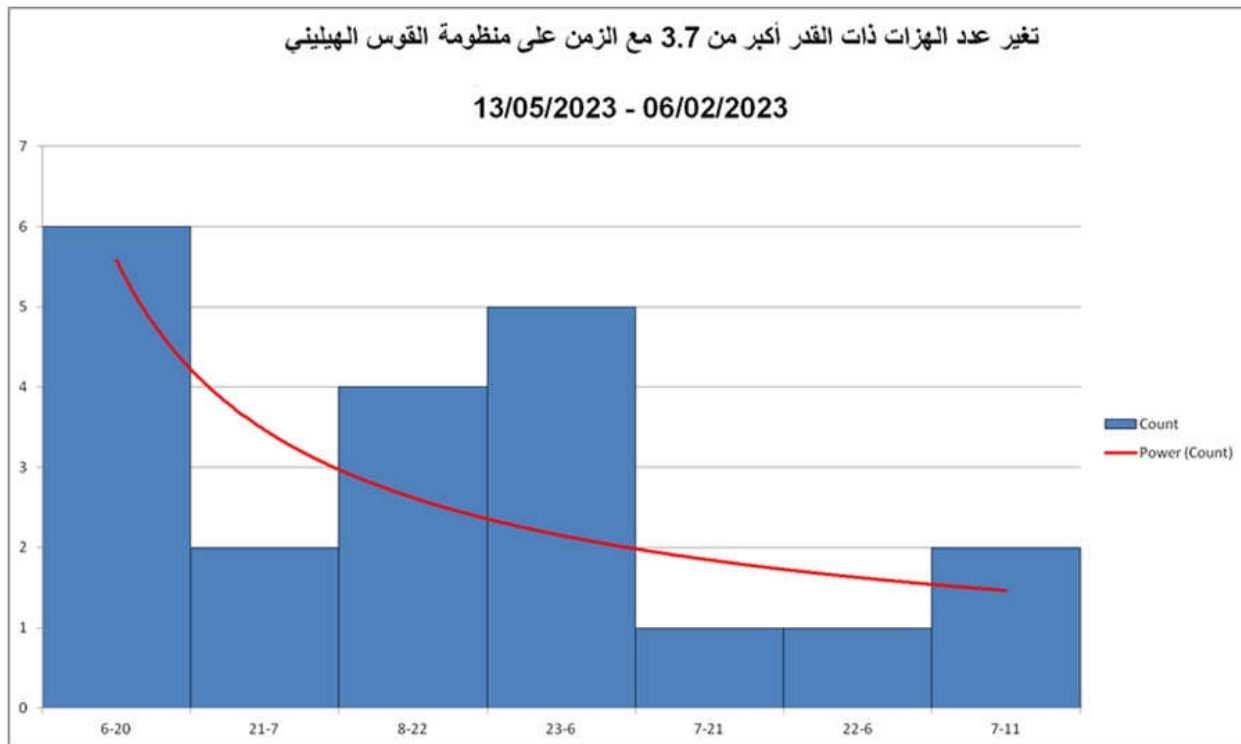
الشكل(21): يبين تغير قدر الهزات مع الزمن والمنحنى الأسوي على منظومة فوالق القبرصي.



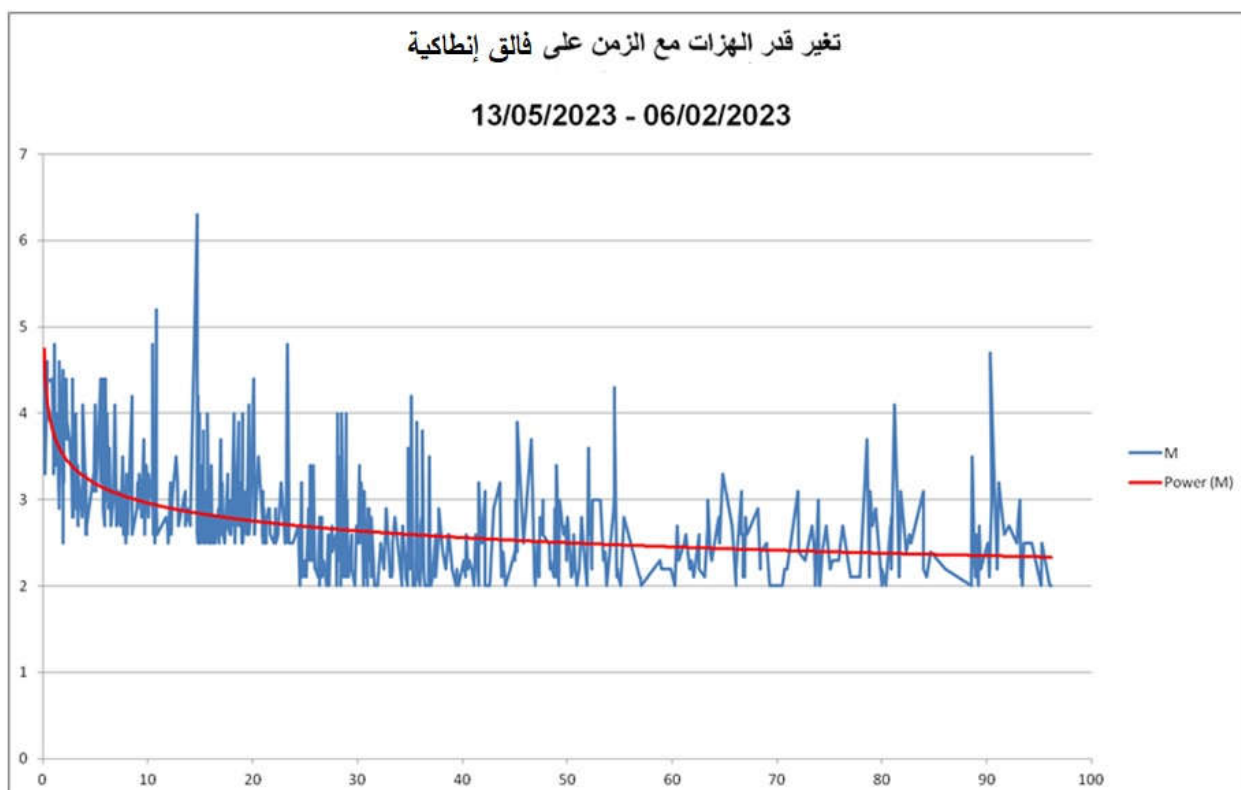
الشكل(22): يبين تغیر عدد الهزات مع الزمن، والمنحنى الأسی على منظومة فوالق القبرصي .



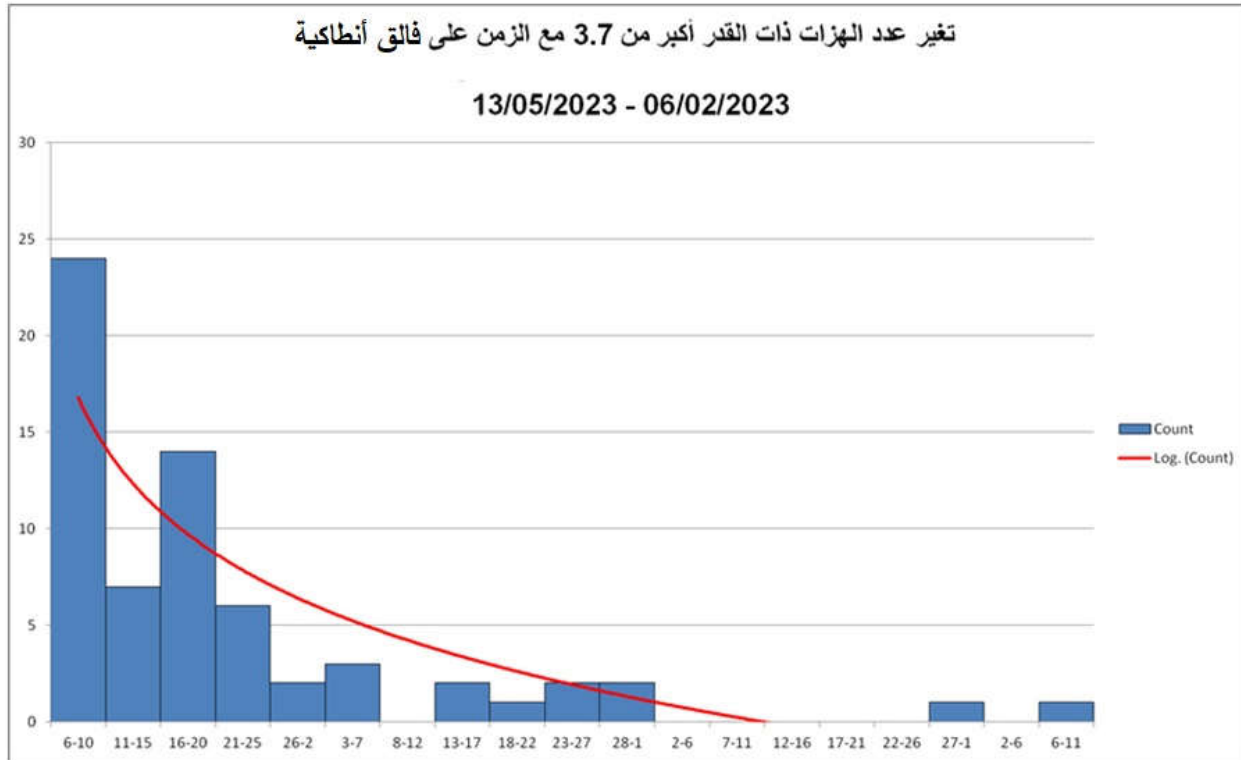
الشكل(23): يبين تغیر قدر الهزات مع الزمن، والمنحنى الأسی على منظومة فوالق الهيليني .



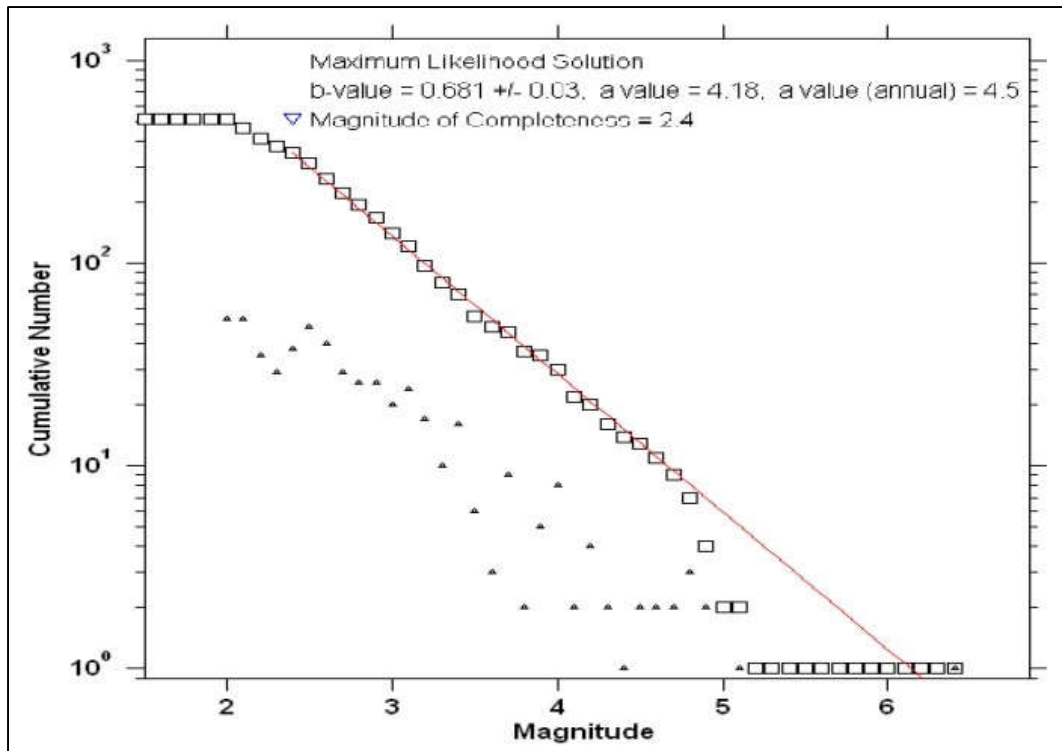
الشكل(24): يبين تغیر عدد الهزات مع الزمن والمنحنى الأسی على منظومة فالق القوس الهيليني.



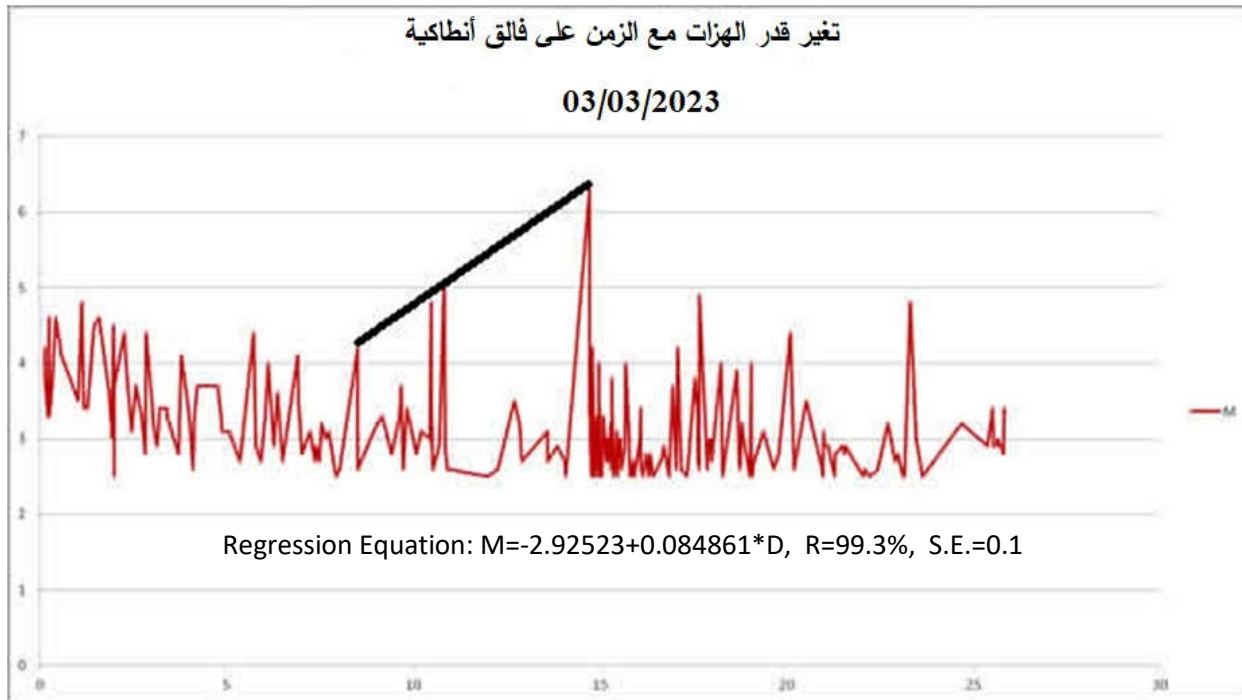
الشكل(25): يبين تغیر قدر الهزات مع الزمن، المنحنى الأسی على فالق أنطاكية.



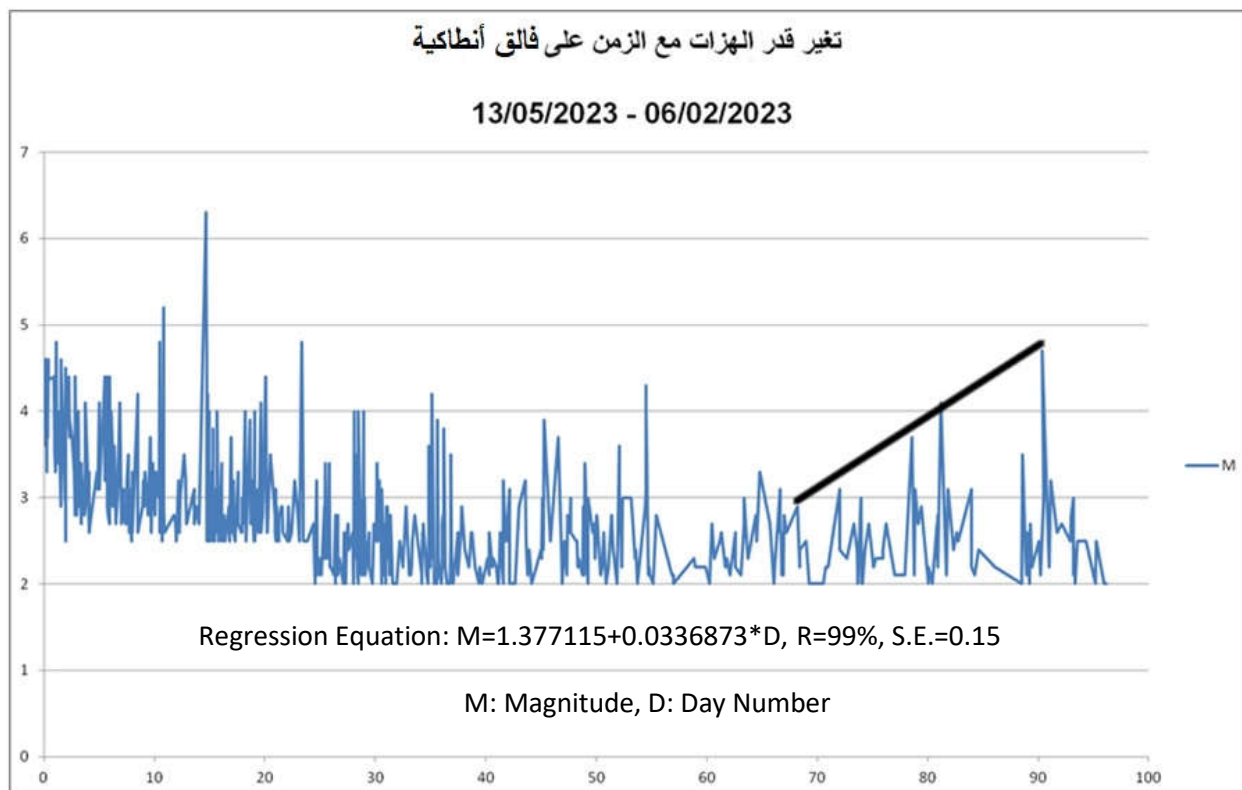
الشكل(26): يبين تغیر عدد الهزات مع الزمن، والمنحنى الأسی على فالق أنطاكية.



الشكل(27): يبين المنحنى التراكمي للهزات على فالق أنطاكية، وقدر الالكمال، ومعاملات غوتبيرغ ريختر.



الشكل(28): يبين تغیر قدر الهزات مع الزمن على فالق أنطاكية، والمؤشر على حدوث الزلزال 6.3 يوم 2023/02/20.



الشكل(29): تغیر قدر الهزات مع الزمن على فالق أنطاكية، والمؤشر على حدوث الهازة 4.7 يوم 2023/05/07.



## 5- الاستنتاجات والتوصيات:

- 1- وجود نشاط زلزالي متزايد قبل زلزال غازي عنتاب على منظومات الفوالق المحيطة بالصفحة العربية.
- 2- وجود نشاط زلزالي متناقص على منظومات الفوالق المؤثرة على المنطقة الساحلية بعد زلزال غازي عنتاب.
- 3- وجود بعض المؤشرات على حدوث الاهزات اللاحقة بقدر 6.3، و 4.7 على فالق أنطاكية، ووجود الكثير من هذه المؤشرات على جميع منظومات الفوالق المدروسة.
- 4- أظهرت المؤشرات دقة عالية في تحديد قدر الاهزة المتوقعة على أي فالق، أو منظومة حيث أظهرت معادلات الانحدار لهذه المؤشرات علاقة خطية لقمن القدر مع الزمن بمعامل ارتباط يتراوح بين 99، و 99.3 بالمئة، وبخطأ معياري يتراوح بين 0.1، و 0.15 من قيمة القدر المتوقع، أي أن كمية الطاقة المتحركة من الفالق تتزايد بشكل أسي مع الزمن.
- 5- أوصت الدراسة بضرورة تحديد، ودراسة جميع المصادر السيسموتكتونية المؤثرة على كامل أراضي الجمهورية العربية السورية.



## 6- المراجع:

- [1] Enrico Bonatti, Anna Cipriani, and Luca Lupi. 2015. The Red Sea: Birth of an Ocean. Springer Earth System Sciences, 29-44.
- [2] Smit, J., J.-P. Brun, S. Cloetingh, and Z. Ben-Avraham. 2008. Pull-apart basin formation and development in narrow transform zones with application to the Dead Sea Basin. *Tectonics*, 27(6), 17p.
- [3] Ambraseys,N.N., Jakson,J.A. 1998. Faulting associated with historical and recent earthquakes in the eastern Mediterranean. *Geophys. J.Int*, 133(2), 390-406.
- [4] Zilio, L., Ampuero, J. P. (2023). Earthquake doublet in Turkey and Syria. *Communications Earth & Environment*, 4P. DOI: 10.1038/s43247-023-00747-z.
- [5] Karabulut H., Güvercin S.E., Hollingsworth, J., Konca A.Ö. 2023. Long silence on the East Anatolian Fault Zone (Southern Turkey) ends with devastating double earthquakes (6 February 2023) over a seismic gap: Implications for the seismic potential in the Eastern Mediterranean region. *Journal of the Geological Society*, 27p. <https://doi.org/10.6084/m9.figshare.c.6567094>.
- [6] Clayton Brengman. 2012. A Relationship between Earthquake Magnitude/Distance and Visibility on the Seismometer in Locy Hall, Northwestern University, with an analysis of the correlation between the signal amplitude on the seismometer and the reported Mw by the USGS, Northwestern University, 17p.
- [7] Agnes Helmstetter and Didlier Sornette, 2003. Baths law Derived from the Gutenberg-Richter law and from Aftershock Properties. *Geophysical Research letters*, 10, 10-29.
- [8] Guglielmi, A. V., 2017. Omori's law: a note on the history of geophysics. *Physic-Uspekhi* 60, 319-324.
- [9] EMSC. 2023. Euro-Mediterranean Seismological Centre, Earthquake information. <https://emsc-csem.org>.
- [10] USGS. 2023. United States Geological Survey - Earthquake Catalog. <https://earthquake.usgs.gov/earthquakes/search>.